

# Semillero SIIC

Comenzamos 12:05



POLITÉCNICO COLOMBIANO  
JAIME ISAZA CADAVÍD

PhD MSc Jorge Espinosa  
[jeespinosa@elpoli.edu.co](mailto:jeespinosa@elpoli.edu.co)

Octubre 10 - 2023

Semillero en Inteligencia Computacional



# Agenda

## Avances

- Prototipo de software basado en técnicas de machine learning aplicadas a la visión por computador para la categorización de representaciones rupestres en petroglifos digitalizados de la provincia de San Luis (Argentina).
  - Ormolgud Gonzalez - Juan Carlos Salazar Muñoz
- Desarrollo de un prototipo de aplicación móvil nativa para sistemas Android, mediante la aplicación técnicas de visión por computadora e inteligencia artificial basadas en la detección de la pose humana en tiempo real, con el propósito de cuantificar la velocidad en la fase concéntrica de la ejecución de la sentadilla.
  - Valentina Palacio – Mateo Présiga



POLITÉCNICO COLOMBIANO  
JAIME ISAZA CADAVÍD

## Semillero de Investigación de Inteligencia Computacional

PROTOTIPO DE SOFTWARE BASADO EN TÉCNICAS DE MACHINE  
LEARNING APLICADAS A LA VISIÓN POR COMPUTADOR PARA LA  
CATEGORIZACIÓN DE REPRESENTACIONES RUPESTRES EN PETROGLIFOS  
DIGITALIZADOS DE LA PROVINCIA DE SAN LUIS (ARGENTINA)

GONZALEZ CARDONA ORMOLGUD [ormolgud\\_gonzalez82182@elpoli.edu.co](mailto:ormolgud_gonzalez82182@elpoli.edu.co)  
SALAZAR MUÑOZ JUAN CARLOS [juan\\_salazar82182@elpoli.edu.co](mailto:juan_salazar82182@elpoli.edu.co)



# Contexto:

La inteligencia artificial y la arqueología no son comúnmente asociadas pero el potencial que pueden lograr es asombroso, podemos ver esto en los diferentes estudios llevados a cabo durante los últimos años.

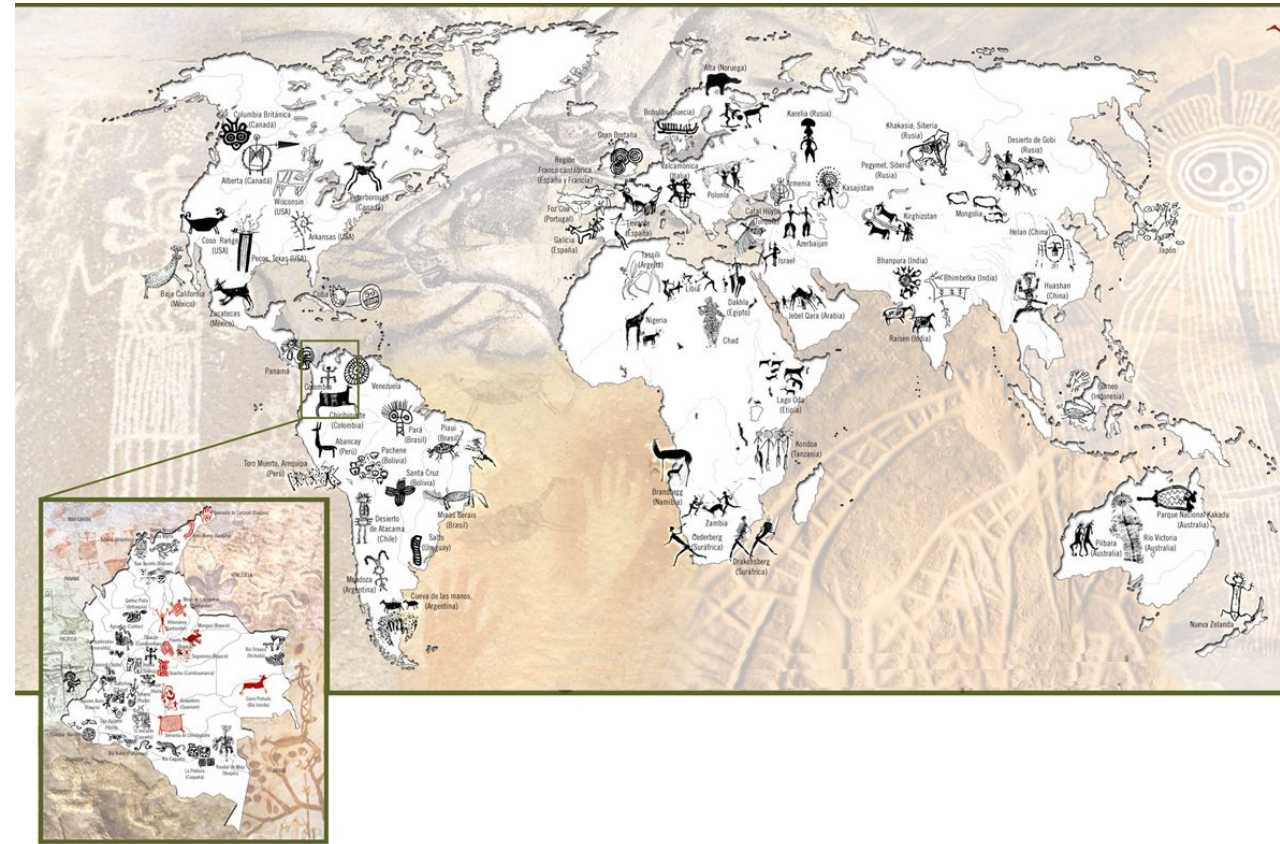
Estudiar el arte rupestre encierra ciertas complejidades, entre las cuales se puede contar la alta dificultad técnica de datación aún con las sofisticadas técnicas modernas.

El machine learning es una técnica que aunque no es nueva, ha sido usada de forma continua y variada en el estudio del patrimonio cultural, incluyendo aspectos de interés para la antropología. Los primeros algoritmos de machine learning ya comenzaban a aparecer en la década de los setentas, no obstante en la actualidad se ha evidenciado una gran explosión en su uso, producto de una capacidad para enfrentar problemas cada vez más complejos entre los que podemos encontrar el análisis de imágenes, el aprendizaje profundo, el reconocimiento de patrones y el reconocimiento de objetos.



# En el mundo

## Representaciones rupestres

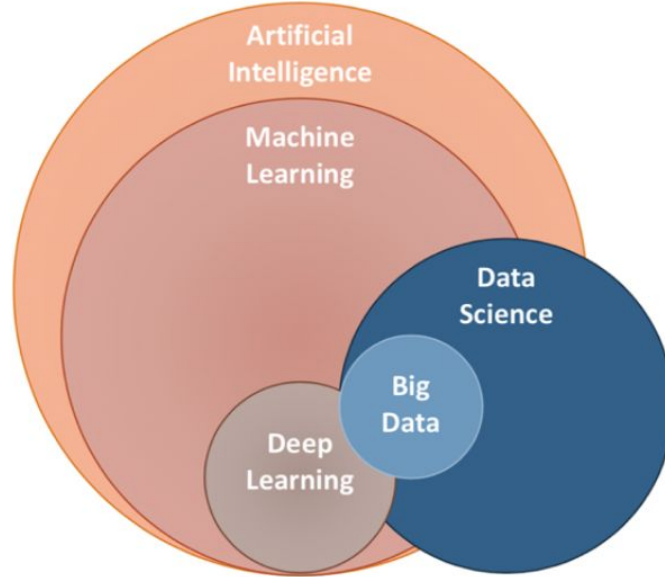


# Complejidad y estudio

- Preservación
- Datación
- Interpretación.

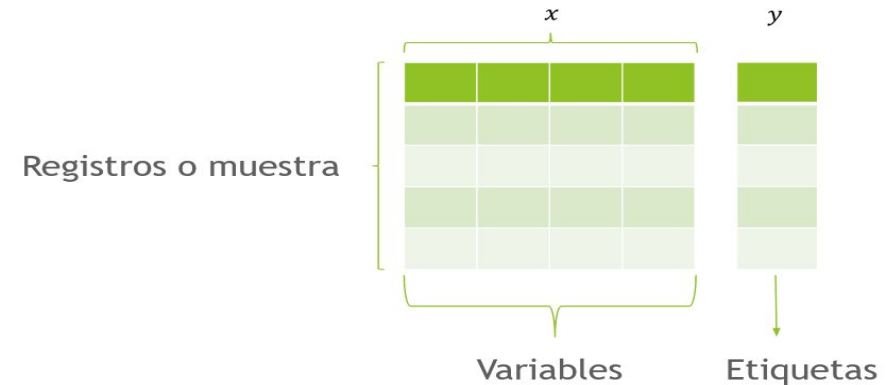


# Machine Learning

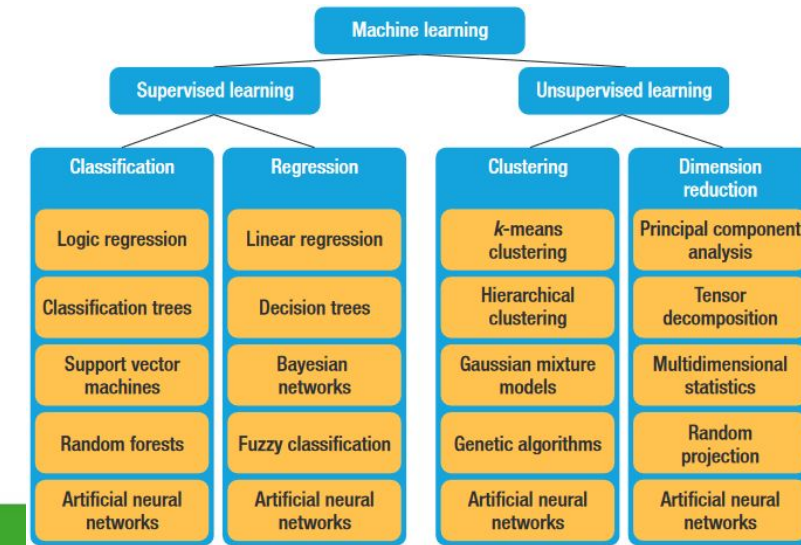


Programmatic Spain. <https://www.programmaticaly.com/education>

## Aprendizaje supervisado



## Aprendizaje no supervisado





## OBJETIVO GENERAL:

Desarrollar un prototipo software utilizando técnicas de machine learning aplicadas a la visión artificial para el análisis de imágenes de motivos rupestres que permitan caracterizarlos, a partir de una colección digital de imágenes rupestres de la provincia de San Luis (Argentina).

## OBJETIVOS ESPECÍFICOS:

**Realizar una revisión del estado del arte en bases de datos científicas para identificar las principales técnicas y algoritmos de visión artificial y machine learning que se utilizan para el reconocimiento, segmentación, interpretación y clasificación de petroglifos, así como de las métricas para cuantificar comparativamente la tarea de clasificación.**

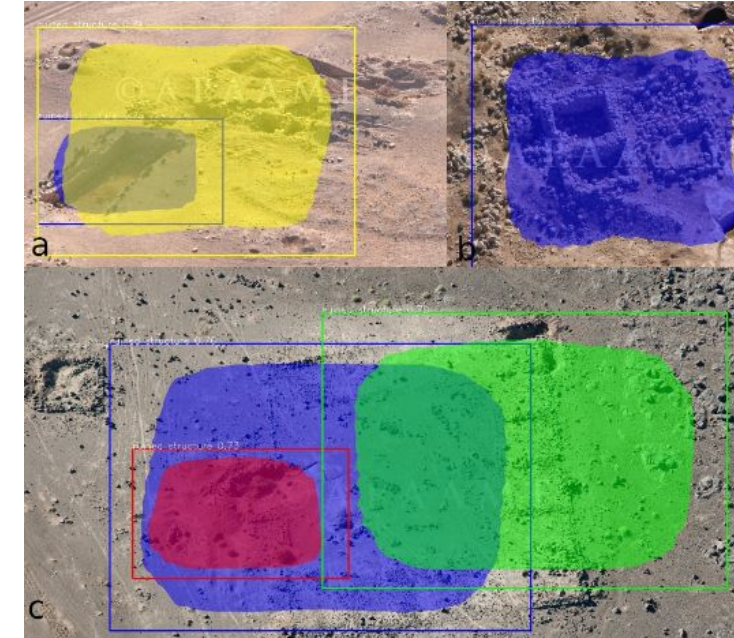
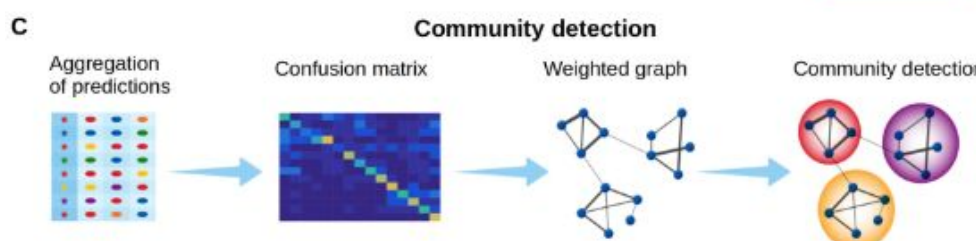
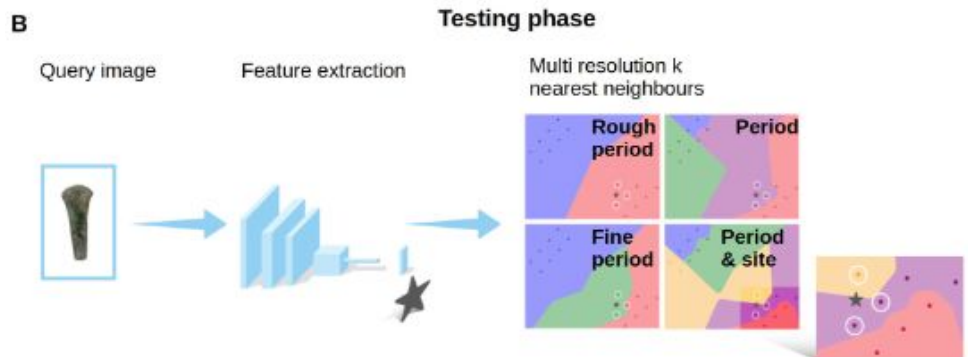
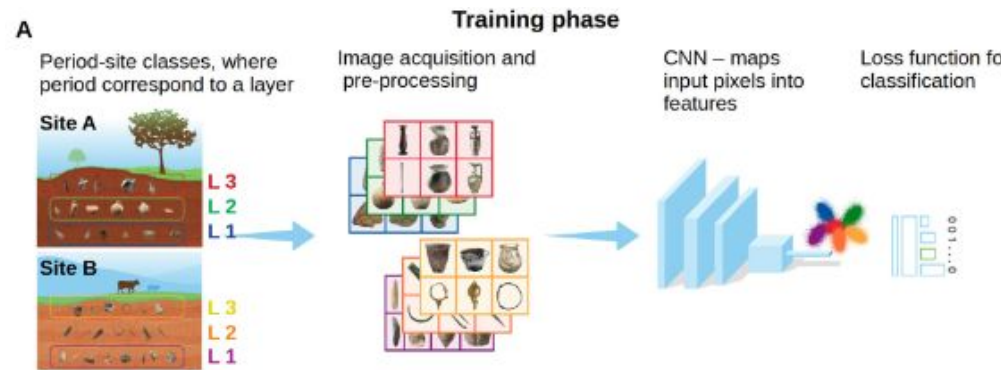
Hacer un análisis comparativo entre varios agrupamientos sobre la colección de imágenes del objeto de estudio, realizados por los algoritmos de aprendizaje de máquina escogidos y evaluando su desempeño de acuerdo los costos computacionales y las métricas escogidas, comparándolas con la clasificación realizada por un experto en Antropología.

Identificar patrones entre unidades morfológicas dentro de los resultados obtenidos en el agrupamiento realizado por el algoritmo escogido, para definir un diccionario de motivos rupestres.

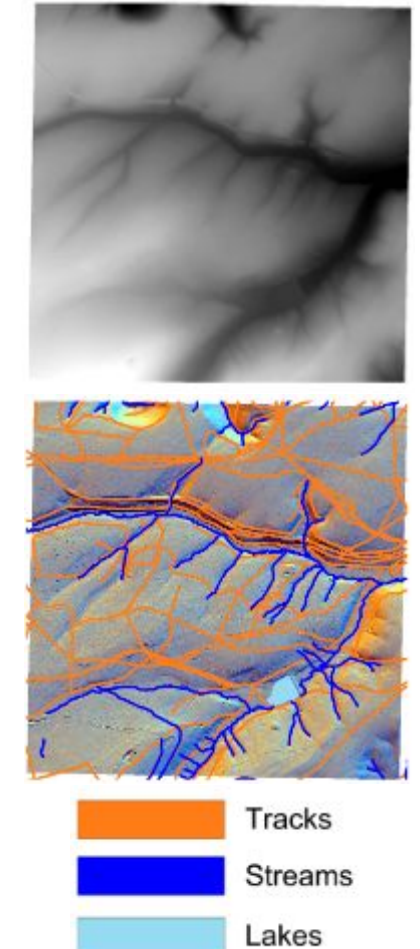
Elaborar un prototipo de software de acuerdo al mejor resultado obtenido entre los modelos definidos y estructurados en la presente investigación, que tome en cuenta los procesos de carga de imágenes, su procesamiento y captura de resultados.



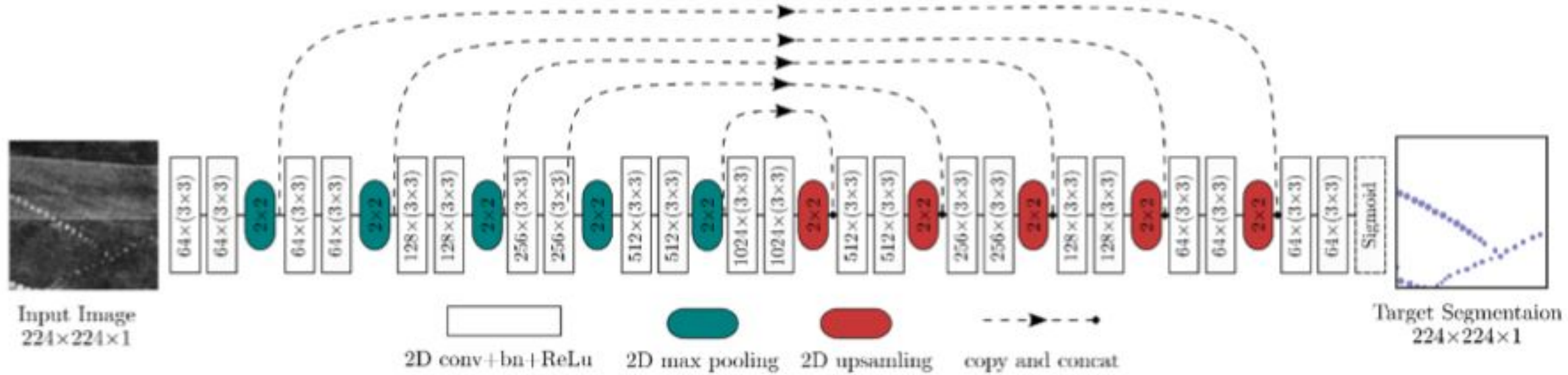
# Machine Learning en Arqueología



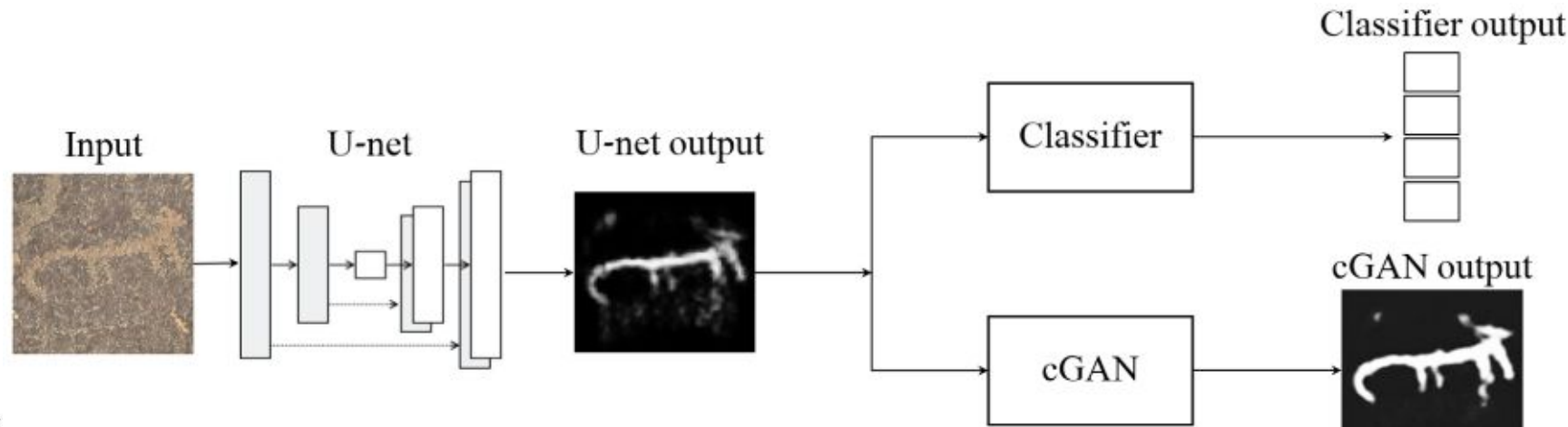
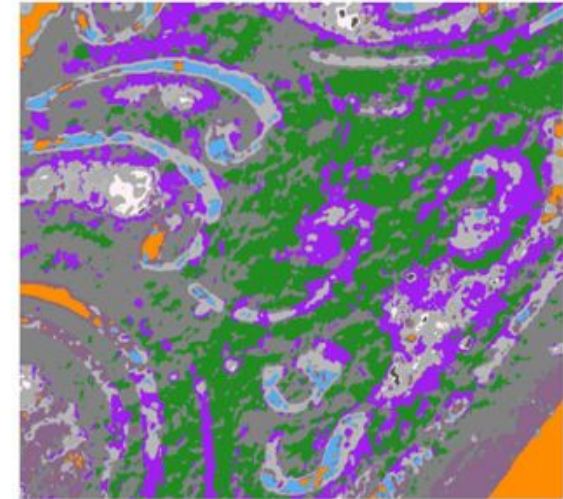
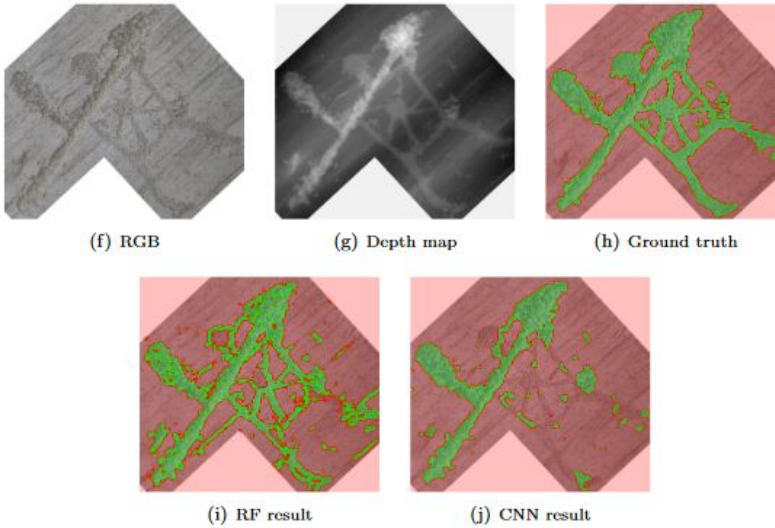
True label	Predicted label			
	burial	architectural	find	people_working
burial	92.0%	7.0%	1.0%	-
architectural	3.6%	96.4%	-	-
find	2.4%	-	97.6%	-
people_working	1.3%	1.3%	-	97.4%



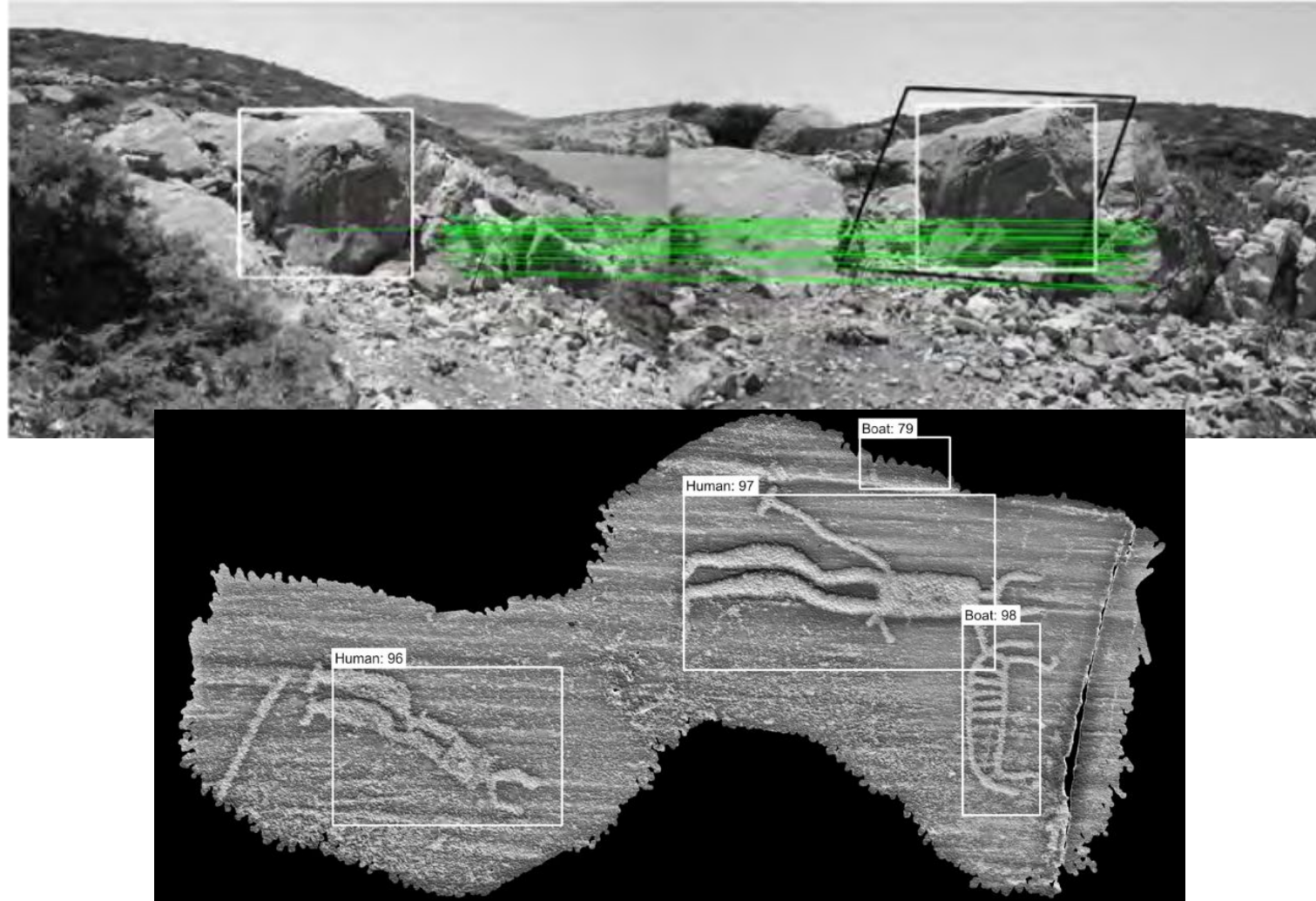
# Machine Learning en Arqueología



# Machine Learning en estudios rupestre



# Machine Learning en rupestre





# Pregunta de investigación

¿Es posible desarrollar un prototipo adecuado mediante el uso de técnicas de aprendizaje profundo aplicadas a la visión artificial para realizar un agrupamiento formal de motivos rupestres de la Provincia de San Luis (Argentina)?



# Estado del arte

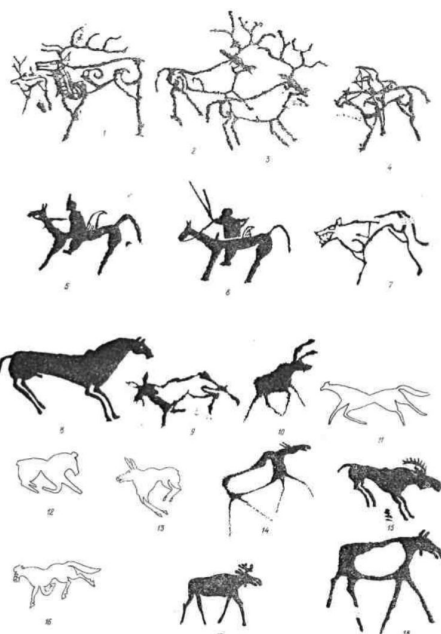


Figura 10: Imágenes utilizadas en el experimento de la máquina: 1-16 - Yenisei (12 - \*Kyzlasov, 1960; 13, 16 - \*Gryaznoye, 1971); 17-18 - Angara (\*Okladnikov, 1966) (I+)

## 3.2. Lista de señales.

1. Cuerpo sólido -  $ED= FH= BC$
  2. Casco magro -  $ED > FH > BC$
  3. Cuerpo con "cintura" -  $ED > FH < BC$
  4. Casco pesado -  $ED < FH > BC$
  5. Carcasa lineal -  $(ED + BC) < \frac{EB}{5}$
  6. Piernas (I)-El y BM se cruzan en la parte superior o son paralelas
  7. Piernas (II) - El y BM se cruzan en la parte inferior
  8. Piernas (III) - EC y BL se cruzan en la parte inferior
  9. La cabeza es alargada -  $AN > \frac{AE}{2}$
  10. Cabeza acortada -  $AN < \frac{AE}{2}$
  11. El ojo se conjuga con el contorno de la cabeza
  12. El ojo se separa del contorno de la cabeza
  13. La oreja tiene forma triangular (fig. 2)
  14. Un rizo en el omóplato
  15. Remolino en el cuerpo
  16. Un rizo en la cadera
  17. Sultán con cresta en la cabeza (fig. 6:2)
  18. Los pies de la parte trasera hacia el espectador se desplazan mecánicamente al mismo plano que los pies de la parte delantera hacia el espectador (figuras 6:2; 10:11)
  19. Cornamenta de reno
  20. Cornamenta de alce
  21. La cola es corta
  22. Cola media (no por debajo de la falda)
  23. La cola es larga (por debajo de la falda)
  24. El animal mira hacia la izquierda (del observador)
  25. El animal mira hacia la derecha (del observador)
- La lista contiene principalmente atributos cualitativos, algunos de ellos formalizados de forma imprecisa. Por supuesto, un sistema de descripción de este tipo,

	1	2	3	4	5	6	7	8	9	10	11	12	13	14	15	16	17	18	19	20	21	22	23	24	25
1. УТ.III.60.9	0	1	0	0	0	1	0	0	1	0	1	1	1	1	1	0	0	1	0	1	0	0	1	0	
2. УТ.III.27.3	0	1	0	0	0	1	0	1	0	0	1	0	1	1	0	0	1	0	1	0	0	1	0	0	
3. УТ.III.27.4	0	1	0	0	0	1	0	0	1	0	0	0	1	0	0	1	0	0	1	0	0	1	0	0	
4. УТ.III.60.12	0	1	0	0	0	1	0	0	1	0	1	0	1	0	0	0	0	0	1	0	1	0	1	0	
5. УТ.III.77.1	0	0	0	0	1	0	0	0	1	0	0	0	0	0	0	0	0	0	1	0	1	0	0	1	
6. УТ.III.13.2	0	0	0	0	1	0	0	0	1	0	0	0	0	0	0	0	0	0	0	1	0	1	0	0	
7. УТ.III.60.18	0	1	0	0	0	1	0	0	1	0	1	0	1	0	0	0	0	0	0	1	0	1	0	0	
8. О.III.5.8	0	1	0	0	0	1	0	0	1	0	1	0	0	0	0	0	0	0	0	1	0	0	0	1	
9. Т.II.22.1	0	0	1	0	0	1	0	1	0	0	0	0	0	0	0	0	1	0	0	1	0	0	1	0	
10. УТ.II.6.31	1	0	0	0	1	0	1	1	0	0	0	0	0	0	0	0	0	0	1	0	0	0	1	0	
11. Сулец	0	0	1	0	0	1	0	1	0	0	0	0	0	0	0	1	0	0	0	0	1	0	1	0	
12. СЧ	0	0	1	0	0	1	0	1	0	0	0	0	0	0	0	1	0	0	1	0	0	1	0	0	
13. Т.III.ск.	0	0	1	0	0	1	0	1	0	0	0	0	0	0	0	1	0	0	0	0	1	0	1	0	
14. ЧЛ.24.57	1	0	0	0	0	1	0	1	0	0	0	0	0	0	0	0	0	0	1	0	0	0	1	0	
15. О.III.5.6.	0	1	0	0	0	0	1	0	1	0	0	0	0	0	0	0	0	1	0	1	0	0	1	0	
16. Т.III.ск.	0	0	1	0	0	1	0	0	1	0	0	0	0	0	0	0	1	0	0	1	0	0	1	0	
17. Аягара	1	0	0	0	0	1	0	1	0	0	0	0	0	0	0	0	0	0	0	1	0	0	0	1	
18. Аягара	1	0	0	0	0	1	0	1	0	0	0	0	0	0	0	0	0	0	1	0	0	0	0	1	

Y. A. Sher, ПЕТРОГЛИФЫ СРЕДНЕЙ И ЦЕНТРАЛЬНОЙ АЗИИ. Москвa: Nauka, 1980.

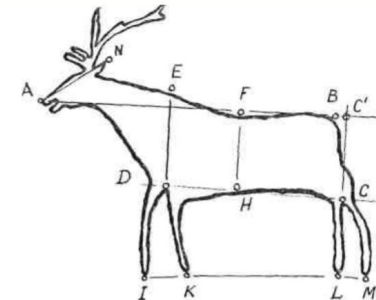


Figura 9. Puntos de partida para una descripción formalizada

$$f_{ij} = \frac{s^2}{kl}$$

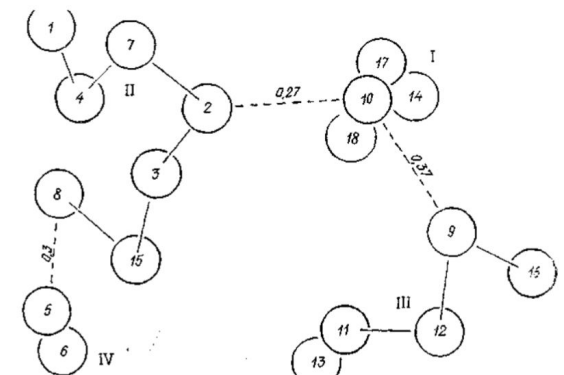
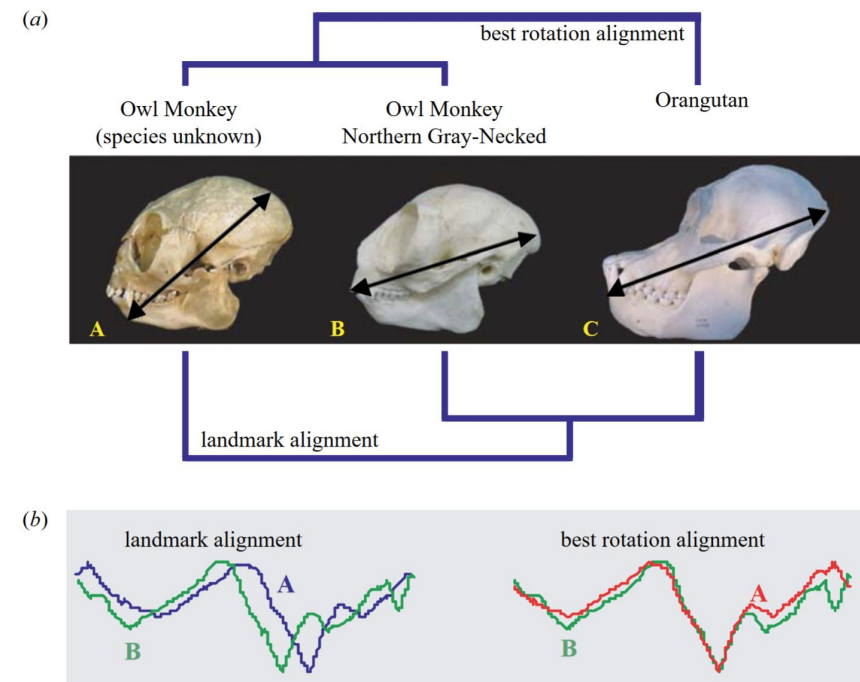
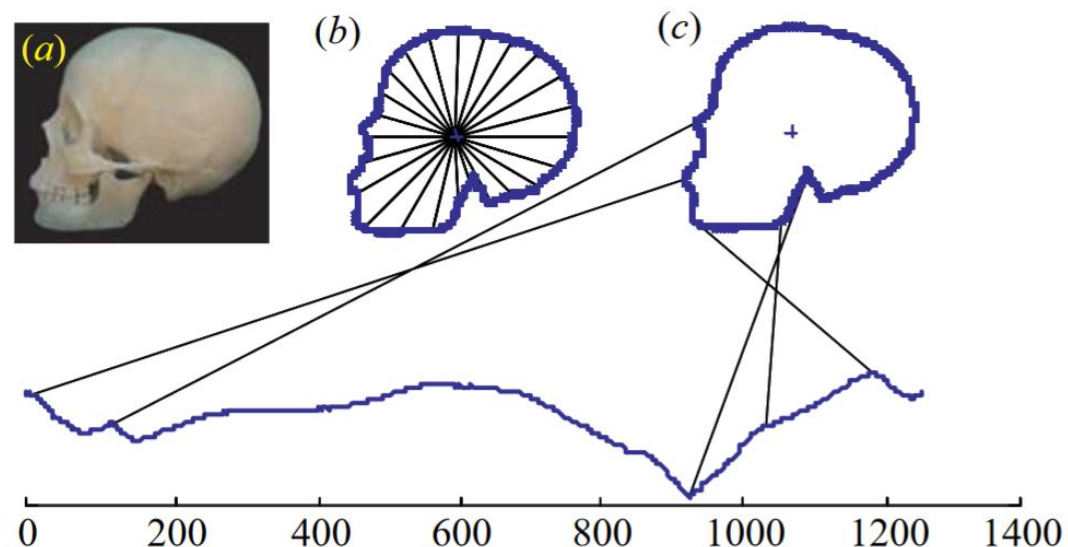


Tabla X. Gráfico de conexiones entre grupos de dibujos de distintas épocas y culturas:  
I - Neolítico; II - Estilo escita-siberiano; III - Cultura tashtyk; IV - Época turca.



L. Wei, E. Keogh, X. Xi, y S.-H. Lee, «Supporting anthropological research with efficient rotation invariant shape similarity measurement», *J. R. Soc. Interface*, vol. 4, n.º 13, pp. 207-222, oct. 2006, doi: 10.1098/rsif.2006.0168





#	Título	Número de figuras	Tipo de descriptor	Descriptor	Clasificador	Métrica	Segmentación	Clasificación	Año
1	Petroglyphs in Central Asia, Nauka (in Russian)	18	Forma	Matriz de características arbitrarias basadas medidas	k-NN	Cualitativa	<input type="radio"/>	<input checked="" type="checkbox"/>	1980
2	Pattern recognition applied to Rock Art	Sin precisar	Sin descriptor	Sin descriptor	Red de Kohonen	Cualitativa	<input type="radio"/>	<input checked="" type="checkbox"/>	2001
3	Shape analysis of petroglyphs in central Asia	52	Esqueletización	Arreglo codificado	Distancia comparativa uno a uno	Cualitativa	<input type="radio"/>	<input checked="" type="checkbox"/>	2006
4	Supporting anthropological research with efficient rotation invariant shape similarity measurement	Sin precisar	Forma	Serie de tiempo	Distancia euclíadiana	Cualitativa	<input type="radio"/>	<input checked="" type="checkbox"/>	2006
5	Augmenting the generalized hough transform to enable the mining of petroglyphs	18	Región	Modificación de la transformada generalizada de Hough	Dnn measure	Accuracy	<input type="radio"/>	<input checked="" type="checkbox"/>	2009
6	Towards Indexing and Data Mining All the World's Rock Art	18	Región	Modificación de la transformada generalizada de Hough	Dnn measure	Accuracy	<input type="radio"/>	<input checked="" type="checkbox"/>	2010
7	Kohonen Networks Applied to Rincón del Toro Rock Art Site Analysis	68	Sin descriptor	Sin descriptor	Red de Kohonen	Accuracy	<input type="radio"/>	<input checked="" type="checkbox"/>	2010
8	An efficient and effective similarity measure to enable data mining of petroglyphs	143	Región	Modificación de la transformada generalizada de Hough	Dnn measure	Cualitativa	<input type="radio"/>	<input checked="" type="checkbox"/>	2011
9	Differences of Petroglyph Styles among Archaeological Sites with Spatial and Time-wise Distances	52	Esqueletización	Arreglo codificado	Distancia comparativa uno a uno	Cualitativa	<input type="radio"/>	<input checked="" type="checkbox"/>	2011
10	Detection and Classification of Petroglyphs in Gigapixel Images -- Preliminary Results	1 imagen con múltiples figuras	Color y textura	RGB, GLCM	SVM	Accuracy	<input checked="" type="checkbox"/>	<input type="radio"/>	2011
11	Petroglyph Recognition Using Self-Organizing Maps and Fuzzy Visual Language Parsing	500	Región	Transformada de Radón	SOM & Fuzzy	Accuracy	<input type="radio"/>	<input checked="" type="checkbox"/>	2012
12	Petroglyph Classification using the Image Distortion Model	51	Derivados	Horizontal and vertical gradients	IDM, KNN	Accuracy	<input type="radio"/>	<input checked="" type="checkbox"/>	2012
13	Automated petroglyph image segmentation with interactive classifier fusion	1 imagen con múltiples figuras	Color y textura	RGB, SIFT, GLCM, LBP	SVM	Precision, recall y F1	<input checked="" type="checkbox"/>	<input type="radio"/>	2012
14	Combining Unsupervised Clustering with a Non-linear Deformation Model for Efficient Petroglyph Recognition	1530 (generadas de 51)	Forma	Shape contexts	SOM, IDM	Accuracy	<input type="radio"/>	<input checked="" type="checkbox"/>	2013
15	Segmentation and Recognition of Petroglyphs Using Generic Fourier Descriptors	1215	Forma	Generic Fourier Descriptors	Distancia euclíadiana	Accuracy	<input checked="" type="checkbox"/>	<input checked="" type="checkbox"/>	2014



1 6	Graph-Based Shape Similarity of Petroglyphs	100 en diez clases	Grafo, Forma, Región	Graph edit distance (GED) & Graph embedding (GE), Shape contexts (SC), Inner Distance Shape Context (IDSC), Generalised Hough Transform (GHT)	k-NN	Accuracy	<input type="radio"/>	<input checked="" type="radio"/>	2015
1 7	Automated Classification of Petroglyphs	1388	Grafo, Forma, Región	Shape contexts (SC), Inner Distance Shape Context (IDSC), Generalised Hough Transform (GHT), Graph embedding (GE)	k-NN	Accuracy	<input type="radio"/>	<input checked="" type="radio"/>	2015
1 8	Interactive segmentation of rock-art in high-resolution 3D reconstructions	26 superficies 3D	Topográfica	Mapa de profundidad	Random Forest	Dice Similarity Coefficient (DSC), Hit Rate (HR), False Acceptance Rate (FAR)	<input checked="" type="radio"/>	<input type="radio"/>	2015
1 9	A Mobile Application for Supporting Archaeologists in the Classification and Recognition of Petroglyphs	Sin precisar en 17 clases	Derivados	Horizontal and vertical gradients	k-NN	Accuracy	<input type="radio"/>	<input checked="" type="radio"/>	2016
2 0	Interactive 3D Segmentation of Rock-Art by Enhanced Depth Maps and Gradient Preserving Regularization	26 superficies 3D	Topográfica	Mapa de profundidad	Random Forest	Dice Similarity Coefficient (DSC), Hit Rate (HR), False Acceptance Rate (FAR)	<input checked="" type="radio"/>	<input type="radio"/>	2016
2 1	Computational Analysis of Petroglyphs	100 en diez clases	Grafo, Forma, Región	Graph edit distance (GED) & Graph embedding (GE), Shape contexts (SC), Inner Distance Shape Context (IDSC), Generalised Hough Transform (GHT)	k-NN	Accuracy	<input checked="" type="radio"/>	<input checked="" type="radio"/>	2016
2 2	PetroSurf3D - A high-resolution 3D Dataset of Rock Art for Surface Segmentation	26 superficies 3D	Topográfica	Mapa de profundidad	Random Forests (RF), Redes Neuronales Convolucionales (CNNs)	Índice de Jaccard, Intersección sobre unión (IU), Promedio sobre clases (mIU), precisión de píxel (PA), dice similarity coefficient (DSC) y False acceptance rate (FAR)	<input checked="" type="radio"/>	<input type="radio"/>	2017
2 3	The 3D-Pitoti Dataset: A Dataset for high-resolution 3D Surface Segmentation	26 superficies 3D	Topográfica	Mapa de profundidad	Random Forests (RF), Redes Neuronales Convolucionales (CNNs)	Índice de Jaccard, Intersección sobre unión (IU), Promedio sobre clases (mIU), precisión de píxel (PA), dice similarity coefficient (DSC) y False acceptance rate (FAR)	<input checked="" type="radio"/>	<input type="radio"/>	2017
2 4	Information Visualization: from Petroglyphs to CoDe Graphs	Sin estimar en 17 clases	Derivados	Horizontal and vertical gradients	k-NN	Precision, recall	<input type="radio"/>	<input checked="" type="radio"/>	2018
2 5	Reconstructing rock art chronology with transfer learning: A case study from Arnhem Land, Australia	98 motivos en 6 clases	Codificación de imagen con CNN	Vector de activación de penúltima capa	One-shot learning	Accuracy	<input type="radio"/>	<input checked="" type="radio"/>	2021
2 6	BEGL: boundary enhancement with Gaussian Loss for rock-art image segmentation	26 superficies 3D	Sin descriptor	Sin descriptor	ResNet, UNet y BEGL	Pixel accuracy, average precision, recall, F1-score, mean intersection over union (MIoU) and dice similarity coefficient (DSC) metrics	<input checked="" type="radio"/>	<input type="radio"/>	2023



# Datos





# Preprocesamiento de data

Imagen png con todos los motivos incluidos

Imagen en escala de grises

Se segmenta la data para (figuras de forma individual)

  imagenes en carpeta

Imagen en una sola capa (eliminar Profundidad (RGB))

cortar imagen desde su último pixel (1)

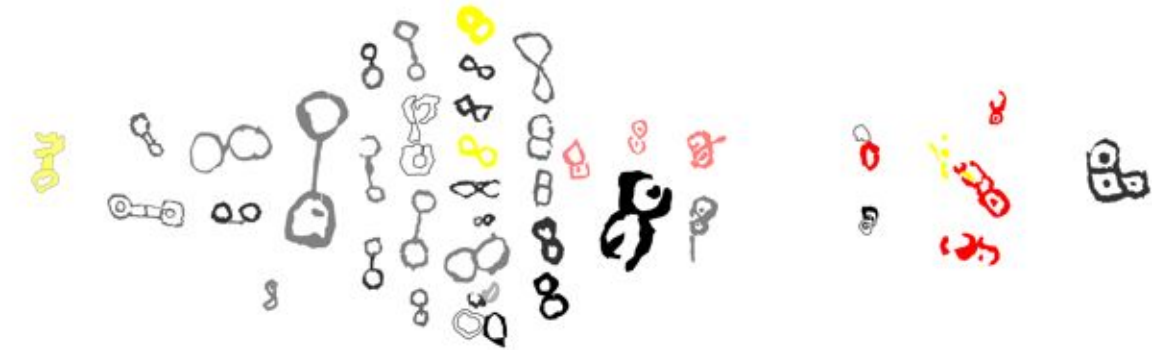
volver imagen cuadrada

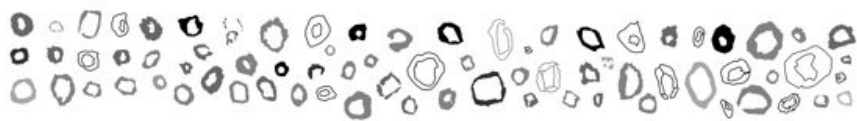
expandir fondo de la imagen para permitir rotación sin pérdida

keras

data augmenting









A2

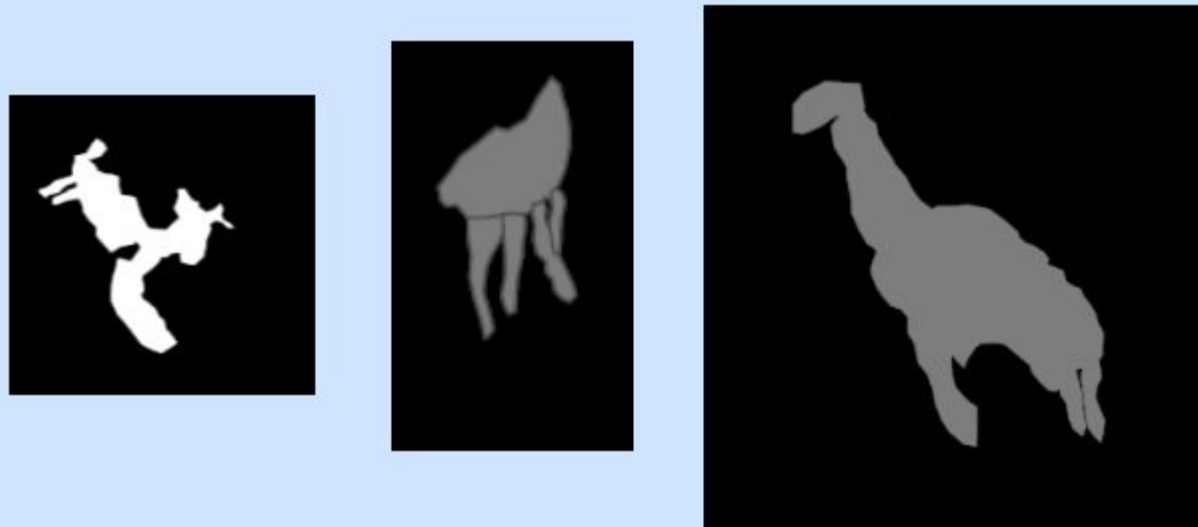
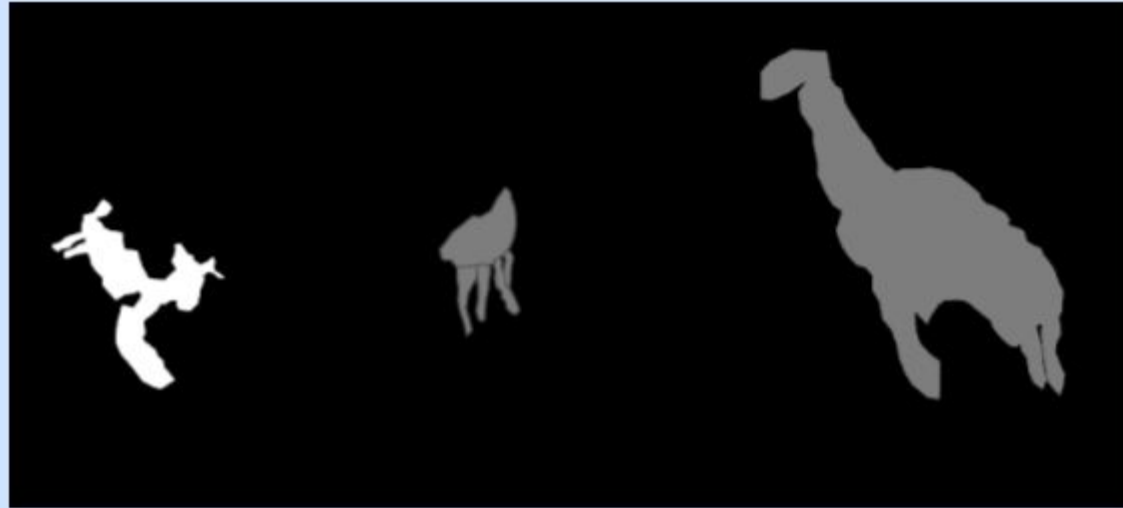


A3



A4





```

def preProcesingImages(sourcePath, targetPath):
    number = 0
    folders = os.listdir(sourcePath)
    folders.sort()
    for folder in folders:
        group_path = sourcePath + "/" + folder
        files_names = os.listdir(group_path)
        files_names.sort()
        for file_name in files_names:
            img_path = group_path + "/" + file_name
            imagecopy = cv2.imread(img_path, cv2.IMREAD_UNCHANGED)
            img = imagecopy[:, :, 0] #Se aplana

            #Se recortan bordes
            sizeOriginal = img.shape[:2]
            heightOriginal = sizeOriginal[0]
            widthOriginal = sizeOriginal[1]
            top = -1
            down = heightOriginal
            row = 0
            left = -1
            right = widthOriginal
            col = 0

            while top == -1:
                if np.count_nonzero(img[row], axis = 0) != 0:
                    top = row
                    row += 1
            row = heightOriginal - 1
            while down == heightOriginal:
                if np.count_nonzero(img[row], axis = 0) != 0:
                    down = row
                    row -= 1

            while left == -1:
                if np.count_nonzero(img[:, col], axis = 0) != 0:
                    left = col
                    col += 1
            col = widthOriginal - 1
            while right == widthOriginal:
                if np.count_nonzero(img[:, col], axis = 0) != 0:
                    right = col
                    col -= 1

            copy = img[top:down + 1, left:right + 1]

```

```

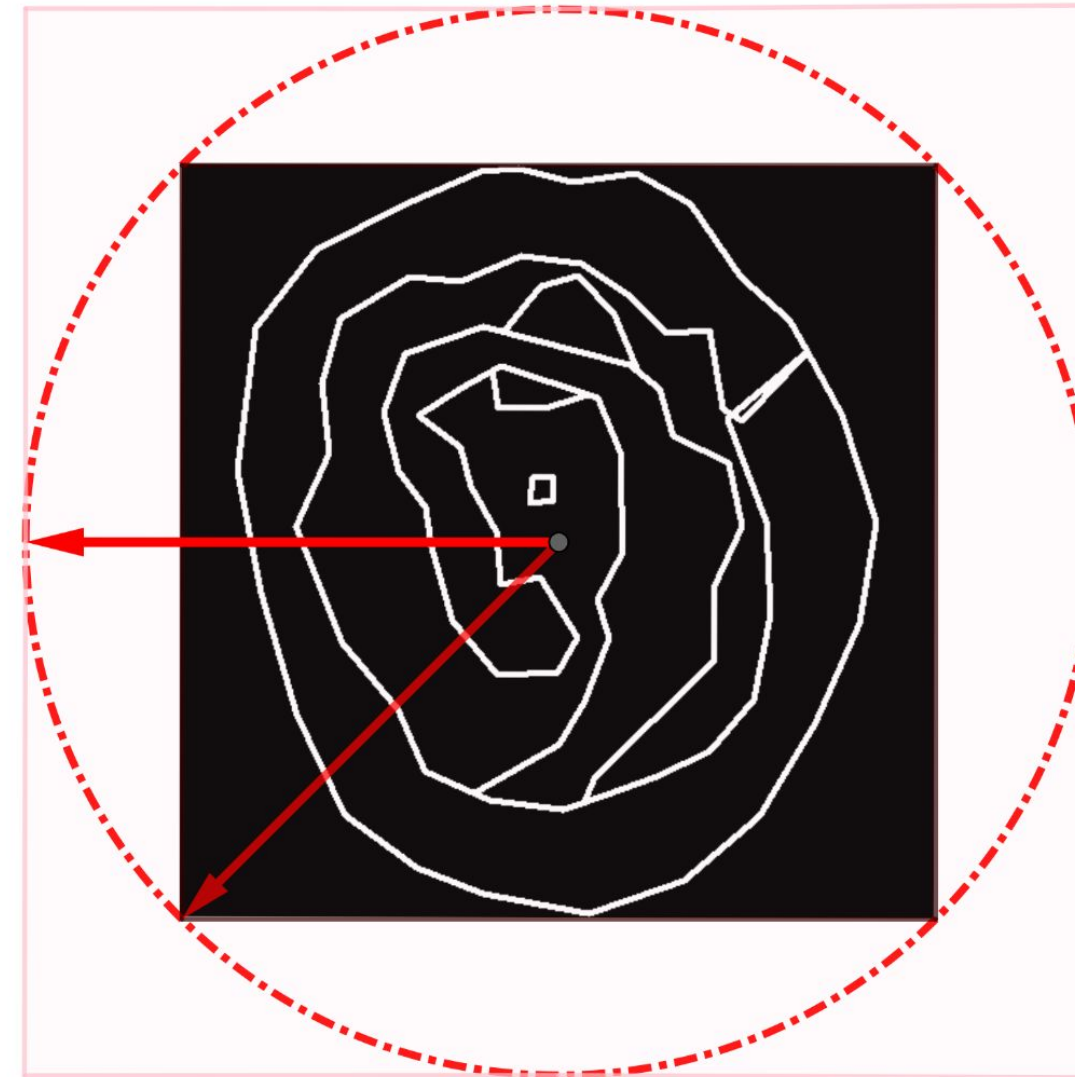
#Squared
sizeOriginal = copy.shape[:2]
heightOriginal = sizeOriginal[0]
widthOriginal = sizeOriginal[1]
resized = []
if heightOriginal > widthOriginal: #Rellenar a los lados
    widthHalf = int((heightOriginal - widthOriginal) / 2)
    fill = np.zeros((heightOriginal, widthHalf), int)
    resizedImage = np.hstack((fill, copy))
    if heightOriginal % 2 == 0:
        resizedImage = np.hstack((resizedImage, fill))
    else:
        fill = np.zeros((heightOriginal, widthHalf + 1), int)
        resizedImage = np.hstack((resizedImage, fill))
elif heightOriginal < widthOriginal: #Rellenar arriba y abajo
    heightHalf = int((widthOriginal - heightOriginal) / 2)
    fill = np.zeros((heightHalf, widthOriginal), int)
    resizedImage = np.vstack((fill, copy))
    if widthOriginal % 2 == 0:
        resizedImage = np.vstack((resizedImage, fill))
    else:
        fill = np.zeros((heightHalf + 1, widthOriginal), int)
        resizedImage = np.vstack((resizedImage, fill))
else:
    resizedImage = copy

file_name = file_name[:-4]
if len(str(number)) == 1:
    zeros = "00"
elif len(str(number)) == 2:
    zeros = "0"
else:
    zeros = ""

targetFolder = targetPath + "/" + zeros + str(number)
if not os.path.exists(targetFolder):
    os.makedirs(targetFolder)

cv2.imwrite(targetFolder + "/" + folder + file_name + "_" + zeros
           + str(number) + ".png", resizedImage)
number = number + 1

```



```

def fillToRotate(sourcePath, targetPath):
    folders = os.listdir(sourcePath)
    folders.sort()
    for folder in folders:
        group_path = sourcePath + "/" + folder
        files_names = os.listdir(group_path)
        files_names.sort()
        for file_name in files_names:
            img_path = group_path + "/" + file_name
            imagecopy = cv2.imread(img_path, cv2.IMREAD_UNCHANGED)

            sizeOriginal = imagecopy.shape[:2]
            heightOriginal = sizeOriginal[0]
            widthOriginal = sizeOriginal[1]

            if heightOriginal > widthOriginal: #Rellenar a la izquierda
                fill = np.zeros((heightOriginal, 1), int)
                resizedImage = np.hstack((fill, imagecopy))
                side = heightOriginal
            elif heightOriginal < widthOriginal: #Rellenar arriba
                fill = np.zeros((1, widthOriginal), int)
                resizedImage = np.vstack((fill, imagecopy))
                side = widthOriginal
            else:
                resizedImage = imagecopy
                side = widthOriginal

            cathetus = int(side / 2)
            radius = int(sqrt(2 * cathetus ** 2))

            widhtLateral = radius - cathetus

            fill = np.zeros((side, widhtLateral), int)
            resizedImage = np.hstack((fill, resizedImage))

```

```

            widhtFinal = 2 * widhtLateral + side
            if widhtFinal % 2 == 0:
                resizedImage = np.hstack((resizedImage, fill))
                fill = np.zeros((widhtLateral, 2 * widhtLateral + side), int)
                resizedImage = np.vstack((fill, resizedImage))
                resizedImage = np.vstack((resizedImage, fill))

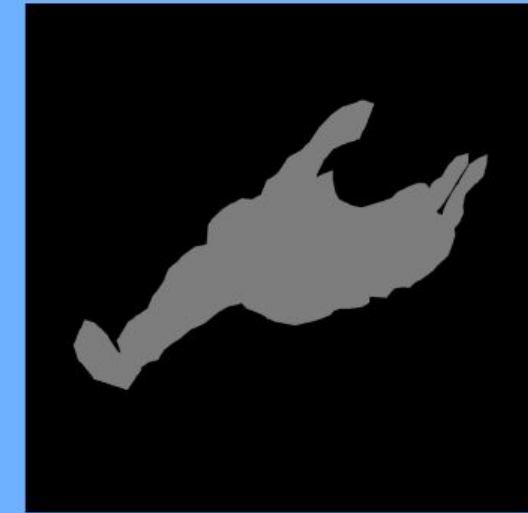
            else:
                fill = np.zeros((side, widhtLateral + 1), int)
                resizedImage = np.hstack((resizedImage, fill))
                fill = np.zeros((widhtLateral, 2 * widhtLateral + side + 1), int)
                resizedImage = np.vstack((fill, resizedImage))
                fill = np.zeros((widhtLateral + 1, 2 * widhtLateral + side + 1), int)
                resizedImage = np.vstack((resizedImage, fill))

            targetFolder = targetPath + "/" + folder
            if not os.path.exists(targetFolder):
                os.makedirs(targetFolder)

            file_name = file_name[:-4]
            cv2.imwrite(targetFolder + "/" + file_name + ".png", resizedImage)

```







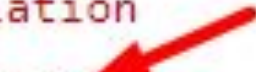
# K Keras

Simple. Flexible. Powerful.



## Config Data augmentation

```
[ ] data_augmentation = keras.Sequential(  
    [  
        layers.RandomFlip(),  
        layers.RandomRotation(0.99, fill_mode = 'constant'),  
    ]  
)
```

- tf.keras.layers.RandomCrop
- tf.keras.layers.RandomFlip 
- tf.keras.layers.RandomTranslation
- tf.keras.layers.RandomRotation 
- tf.keras.layers.RandomZoom
- tf.keras.layers.RandomContrast



```
def dataAugmenting(sourcePath, targetPath, augmentationRate):
    maxFigures = 0
    folders = os.listdir(sourcePath)
    folders.sort()

    for folder in folders:
        group_path = sourcePath + "/" + folder
        files_names = os.listdir(group_path)
        files = len(files_names)
        if maxFigures < files:
            maxFigures = files

    maxFigures = maxFigures * augmentationRate

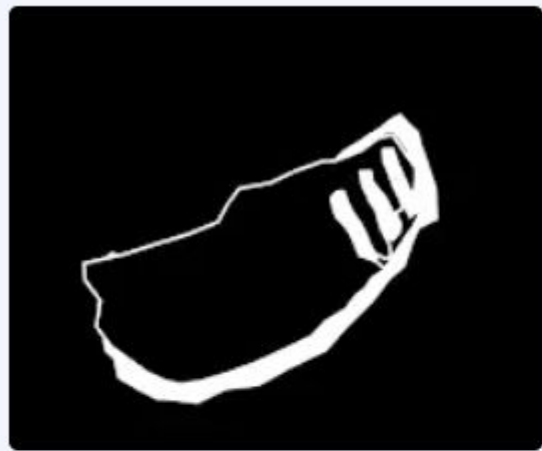
    for folder in folders:
        group_path = sourcePath + "/" + folder
        files_names = os.listdir(group_path)
        files_names.sort()
        files = len(files_names)
        files = int(maxFigures / files)
        for file_name in files_names:
            img_path = group_path + "/" + file_name
            imagecopy = cv2.imread(img_path)
            file_name = file_name[:-4]
            targetFolder = targetPath + "/" + folder
            if not os.path.exists(targetFolder):
                os.makedirs(targetFolder)
            original = cv2.imread(img_path, cv2.IMREAD_UNCHANGED)
            cv2.imwrite(targetFolder + "/" + file_name + "_0000" + ".png", original)

            for i in range(files):
                imageAugmented = data_augmentation(imagecopy)
                copyimageAugmented = imageAugmented[:, :, 0] #Se aplana
                match len(str(i)):
                    case 1:
                        zeros = "000"
                    case 2:
                        zeros = "00"
                    case 3:
                        zeros = "0"
                    case _:
                        zeros = ""
                cv2.imwrite(targetFolder + "/" + file_name + "_A" + zeros + str(i) + ".png", copyimageAugmented.numpy() )
```

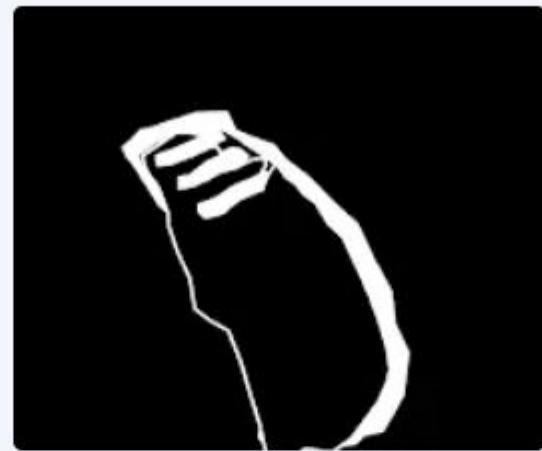




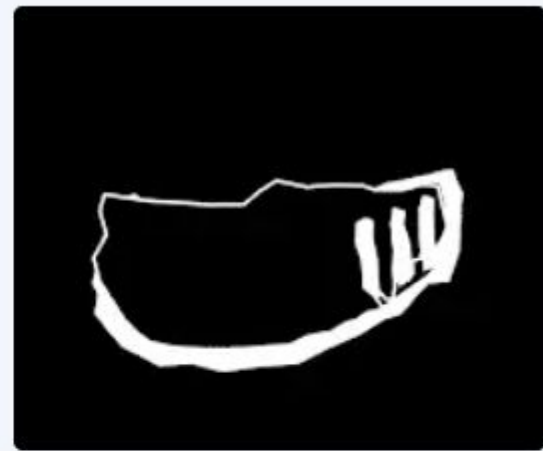
A1Z15F03\_014\_A0007... ::



A1Z15F03\_014\_A0008... ::



A1Z15F03\_014\_A0009... ::



A1Z15F03\_014\_A0010... ::



A1Z15F03\_014\_A0011... ::



A1Z15F03\_014\_O000... ::



POLITÉCNICO COLOMBIANO  
Jaime Isaza Cadavid



POLITÉCNICO COLOMBIANO  
JAIME ISAZA CADAVÍD

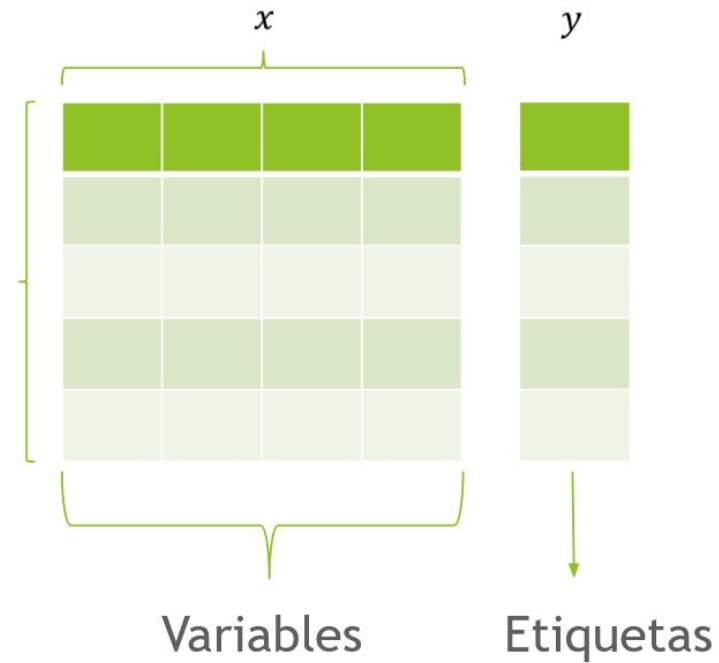
# TRANSFER LEARNING



GOBERNACIÓN DE ANTIOQUIA

# Contexto

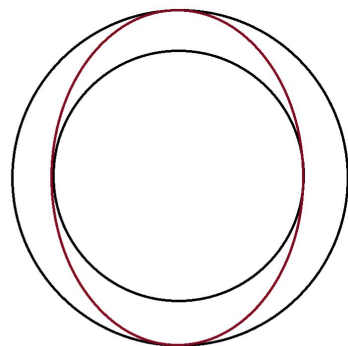
Registros o muestra



# Característica (Feature)

Descriptores de forma:

- Basados en volumen
  - Momentos geométricos
  - Momentos de Zernike
- Basados en contorno
  - Transformada de Hough
  - Descriptores de Fourier



$$h_0 = \eta_{20} + \eta_{02}$$

$$h_1 = (\eta_{20} - \eta_{02})^2 + 4\eta_{11}^2$$

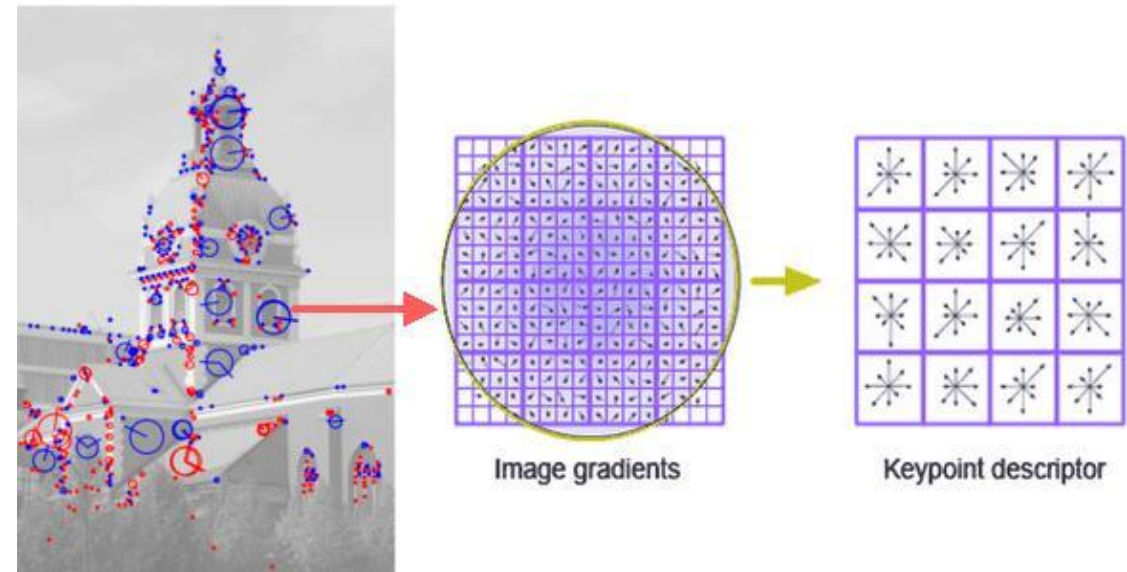
$$h_2 = (\eta_{30} - 3\eta_{12})^2 + (3\eta_{21} - \eta_{03})^2$$

$$h_3 = (\eta_{30} + \eta_{12})^2 + (\eta_{21} + \eta_{03})^2$$

$$h_4 = (\eta_{30} - 3\eta_{12})(\eta_{30} + \eta_{12})[(\eta_{30} + \eta_{12})^2 - 3(\eta_{21} + \eta_{03})^2] + (3\eta_{21} - \eta_{03})[3(\eta_{30} + \eta_{12})^2 - (\eta_{21} + \eta_{03})^2]$$

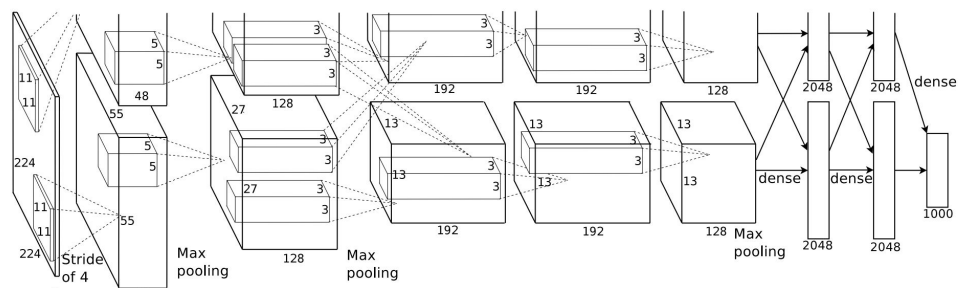
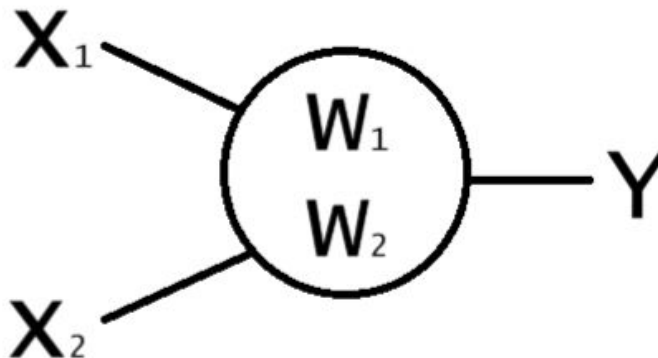
$$h_5 = (\eta_{20} - \eta_{02})[(\eta_{30} + \eta_{12})^2 - (\eta_{21} + \eta_{03})^2 + 4\eta_{11}(\eta_{30} + \eta_{12})(\eta_{21} + \eta_{03})]$$

$$h_6 = (3\eta_{21} - \eta_{03})(\eta_{30} + \eta_{12})[(\eta_{30} + \eta_{12})^2 - 3(\eta_{21} + \eta_{03})^2] + (\eta_{30} - 3\eta_{12})(\eta_{21} + \eta_{03})[3(\eta_{30} + \eta_{12})^2 - (\eta_{21} + \eta_{03})^2]$$



Adel, Ebtsam & Elmogy, Mohammed & El-Bakry, Hazem. (2014). Image Stitching based on Feature Extraction Techniques: A Survey. International Journal of Computer Applications. 99. 1-8. 10.5120/17374-7818.

# CNN



Krizhevsky, Alex & Sutskever, Ilya & Hinton, Geoffrey. (2012).  
ImageNet Classification with Deep Convolutional Neural Networks. Neural Information Processing Systems. 25.  
10.1145/3065386.

## Feature Visualization

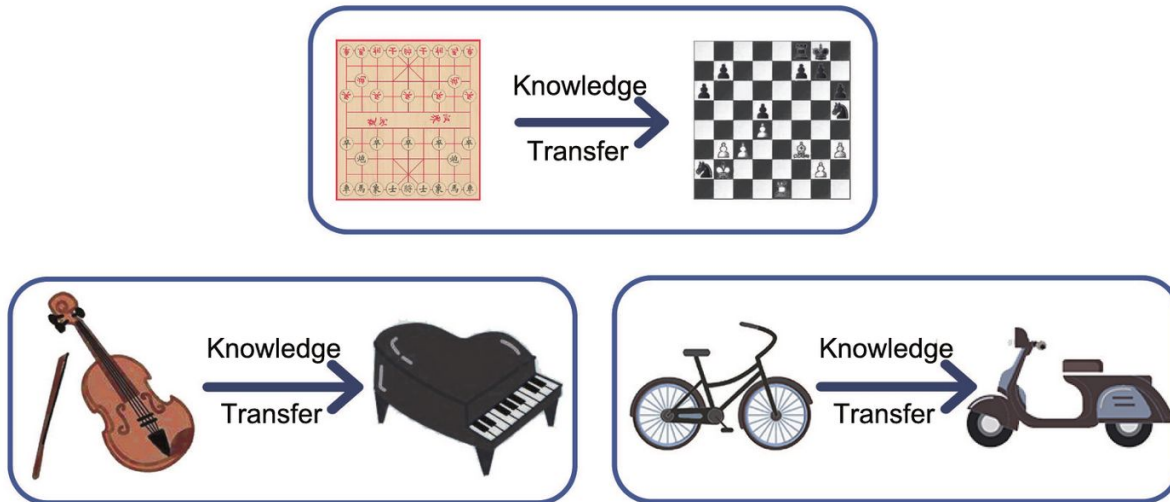
How neural networks build up their understanding of images



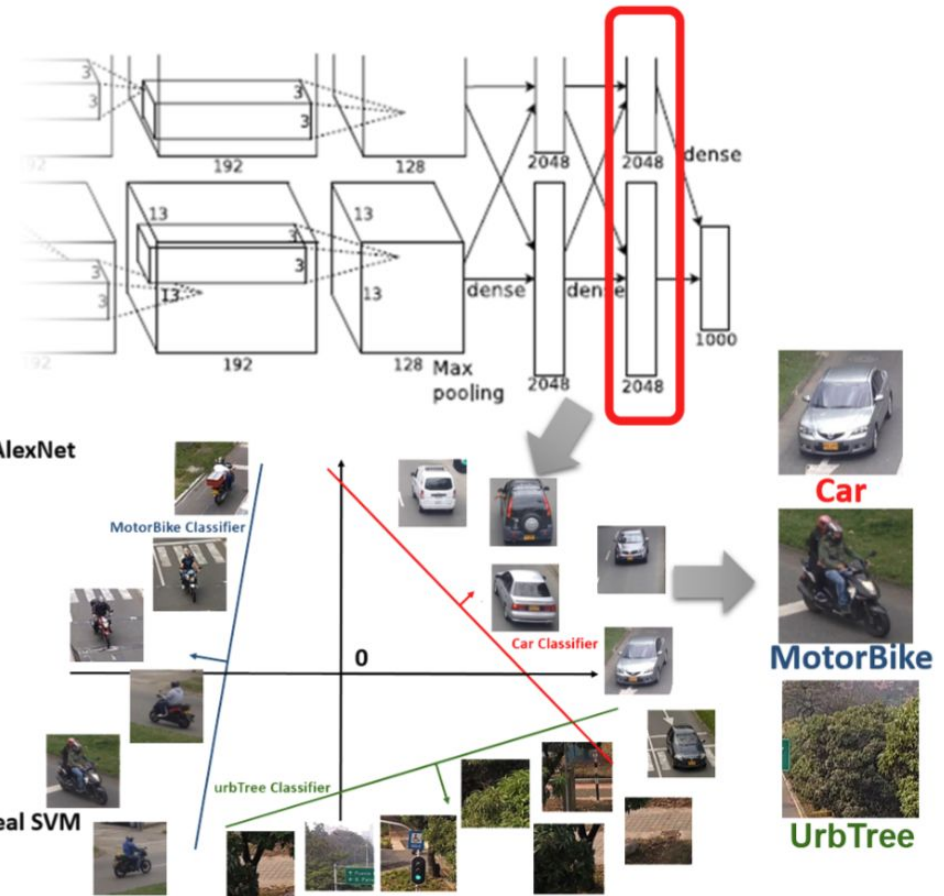
Feature visualization allows us to see how GoogLeNet<sup>[1]</sup>, trained on the ImageNet<sup>[2]</sup> dataset, builds up its understanding of images over many layers. Visualizations of all channels are available in the appendix.

Source: (<https://microscope.openai.com/about>)

# Concepto



Intuitive examples about transfer learning (Source: <https://arxiv.org/pdf/1911.02685.pdf>)



Espinosa, J. E., Velastin, S. A., & Branch, J. W. (2018). Motorcycle Classification in Urban Scenarios using Convolutional Neural Networks for Feature Extraction (arXiv:1808.09273). arXiv. <https://doi.org/10.48550/arXiv.1808.09273>

# Ejemplo

```

mobilenet_v2 = "https://tfhub.dev/google/tf2-preview/mobilenet_v2/feature_vector/4"

feature_extractor_model = mobilenet_v2

feature_extractor_layer = hub.KerasLayer(
    feature_extractor_model,
    input_shape = (224, 224, 3),
    trainable = False)

feature_batch = feature_extractor_layer(image_batch)
print(feature_batch.shape)

(64, 1280)

num_classes = len(class_names)

model = tf.keras.Sequential([
    feature_extractor_layer,
    tf.keras.layers.Dense(num_classes)
])

model.summary()

Model: "sequential"
-----  

Layer (type)          Output Shape       Param #
-----  

keras_layer (KerasLayer)  (None, 1280)      2257984  

dense (Dense)         (None, 106)        135786  

-----  

Total params: 2,393,770
Trainable params: 135,786
Non-trainable params: 2,257,984
-----
```

Epoch 47/200  
 205/205 [=====] - 61s 298ms/step - loss: 0.0060 - acc: 1.0000 - val\_loss: 0.3814 - val\_acc: 0.8964

```

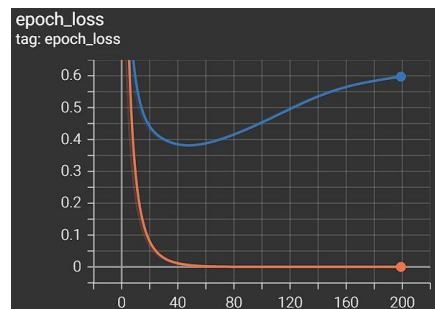
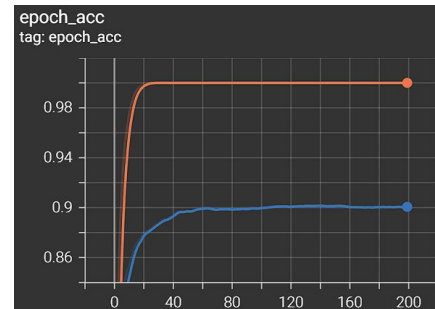
predictions = model(image_batch)

model.compile(
    optimizer = tf.keras.optimizers.Adam(),
    loss = tf.keras.losses.SparseCategoricalCrossentropy(from_logits = True),
    metrics = ['acc'])

log_dir = "Logs/fit/" + datetime.datetime.now().strftime("%Y%m%d-%H%M%S")
tensorboard_callback = tf.keras.callbacks.TensorBoard(
    log_dir=log_dir,
    histogram_freq=1) # Enable histogram computation for every epoch.

num_epochs = 200

history = model.fit(train_ds,
                     validation_data = val_ds,
                     epochs = num_epochs,
                     callbacks = tensorboard_callback)
```





POLITÉCNICO COLOMBIANO  
Jaime Isaza Cadavid



# ¡GRACIAS!



Politécnico Colombiano Jaime Isaza Cadavid

[www.politecnicojic.edu.co](http://www.politecnicojic.edu.co)



@PolitecnicoJIC